



ションは、相対湿度約15%の乾燥空気をパッカで仕切られた測定区間に送風して実施した。図3に、絶対湿度勾配分布とベンチレーション継続時間の関係を示す。(a)のグラフは、ベンチレーション開始から約1.3時間後、(b)は約14.5時間後の絶対湿度勾配分布である。グラフは、横軸が試錐孔の深度、縦軸が絶対湿度勾配である。また、図中右側から乾燥空気が流入し左側より流出する。グラフの(a)中、円で囲んだ2地点において絶対湿度勾配の値が大きい部分（蒸発量の多い部分）が見られた。ベンチレーションを約14.5時間行った後の結果である(b)においては、(a)において蒸発量が多く観測された150mm地点付近の蒸発が小さくなっているのに対し、450~600mm地点付近では(a)の場合と同様に他の部分より高い値を示している。このことは、(a)の150mm地点付近で見られた蒸発が、孔壁面に貯留した水分の蒸発であるのに対し、450~600mm地点付近は岩盤からの水分供給があることが考えられる。

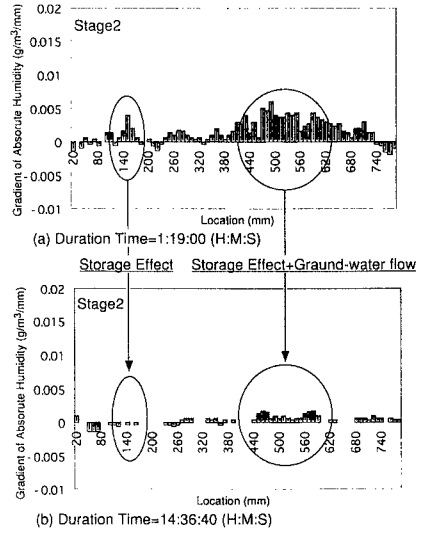


図3 絶対湿度勾配分布とベンチレーション継続時間の関係

図4に全測定区間(1.2~6.3m)の絶対湿度勾配分布を示す。それぞれの区間での測定条件(ベンチレーション時間、風量等)が同一ではないため、この図から蒸発量の単純比較はできないが、場所により絶対湿度勾配の値に差異が認められた。

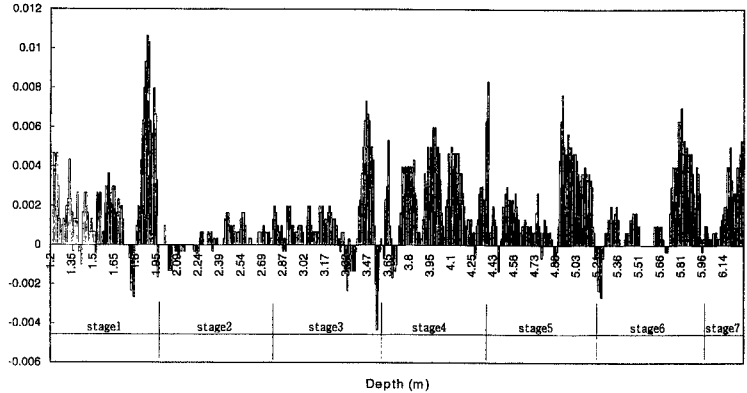


図4 全測定区間の絶対湿度勾配分布

以上の結果より、今回開発した難透水性岩盤を対象とした原位置水理学的特性調査手法によって、試錐孔沿いの水みち（高湧水部）を把握することが可能であることが示された。

また、今回の測定ではベンチレーション試験に伴い、蒸発量から透水係数を推定するために必要な要因の1つであるサクシジョンの測定（テンシオメータおよびサイクロメータを使用）を試みたが、測定器（ポーラスカップ）の形状やポーラスカップの孔壁への押しつけ装置の検討が充分ではなかったため、ポーラスカップと孔壁を完全に密着させることができず、信頼性の高いデータの取得ができなかったため、透水係数の算出は行っていない。

4. 今後の課題 ①孔壁におけるサクシジョン測定機器の開発を実施する。②原位置での状況を模擬した室内試験により岩の表面のサクシジョンの変化を推定し、その結果と原位置で測定された蒸発量測定結果を用いた逆解析を実施することによって水理学的特性（透水係数）の定量的評価を行う。

【参考文献】1)Geotechnical Institute Ltd. (1996) : Mt.Terri Project.International Research Project in the Mt.Terri Reconnaissance Gallery for the Hydrogeological and Geochemical and Geotechnical Characterization of an Argillaceous formation(Opalinus Clay).Programme Overview,Work Programme of Phase3,October 1997(Mt.Terri Consortium).

2)志田原光子, 渡辺邦夫, 三枝博光, 今井久 (1998) : 難透水性岩盤を対象とした原位置水理学的特性調査手法の開発(その1), 第53回土木学会年次学術講演会, 投稿中。